

## Validation de modèle dynamique par corrélation calcul-essais

---

### Résumé

Cette documentation est destinée à décrire les principaux outils d'aide à la validation de modèles en dynamique des structures par corrélation calcul-essais. On décrit notamment :

- comment importer des données issues de mesures,
- la validation par critère de MAC,
- la validation par comparaison de FRF calculées/simulées

## Table des Matières

1 Introduction.....	3
2 Importer des données mesurées dans Code_Aster.....	3
2.1 Quelles données importer ?.....	3
2.1.1 Le maillage .....	3
2.1.2 Les données temporelles brutes, et FRF.....	4
2.1.3 Les bases de modes identifiés.....	5
2.2 Création d'un modèle expérimental dans Code_Aster.....	6
2.2.1 Cas général.....	6
2.2.2 Cas des nœuds orphelins.....	7
3 Validation de modèle par critère de MAC.....	7
3.1 Qu'est-ce que le MAC ?.....	7
3.2 Projection de champs.....	8
3.2.1 Projection des données numériques sur le modèle expérimental avec PROJ_CHAMP.....	8
3.2.2 Utilisation de la macro-commande OBSERVATION pour le projection des données.....	9
3.3 Calcul du MAC entre deux bases de modes.....	10
4 Autres méthodes de validation.....	11
4.1 Validation par comparaison visuelle de déformées modales.....	11
4.2 Validation par comparaison de FRF.....	12
5 Annexe.....	13
5.1 Documentation unv sur les data set de maillage.....	13
5.2 Documentation de référence sur le data set 58.....	14
5.3 Documentation de référence sur le data set 55.....	18
5.4 Script pour la représentation 3D d'un diagramme de MAC.....	20

## 1 Introduction

Afin d'évaluer la capacité prédictive d'un modèle numérique en dynamique des structures, il peut être utile, voire indispensable de valider celui-ci par rapport à des données mesurées *in situ*. La manière la plus classique est la comparaison des modes propres (fréquences et déformées) calculés et identifiés expérimentalement deux à deux. Les modes propres reflètent le comportement global de la structure, et sont souvent utilisées comme unique outil de validation. La principale difficulté dans ce cas est d'être capable d'apparier les modes numériques et expérimentaux deux à deux.

Cette documentation a pour objectif de décrire les méthodes et outils utilisables dans Code\_Aster pour comparer les données du calcul et de la mesure. On traite en section 2 de l'importation des données issues de logiciels de mesure dans Code\_Aster. En section 3, on détaille l'utilisation d'un des principaux critères pour la validation de modèle : la matrice de MAC. En section 4, on aborde d'autres moyens proposés dans l'environnement de Code\_Aster pour la validation (comparaison de FRF et de déformées).

## 2 Importer des données mesurées dans Code\_Aster

### 2.1 Quelles données importer ?

Les données mesurées sont issues d'un logiciel d'acquisition et de traitement du signal. On peut citer parmi eux :

- LMS TestLab,
- Me'Scope,
- B&K Pulse,
- Labview,
- ...

La plupart de ces logiciels permettent d'exporter des données au format universel, mis à point par le logiciel IDEAS (extension \*.unv), données qui peuvent être relues dans Code\_Aster par `LIRE_RESU(FORMAT='IDEAS')`.

Ces fichiers contiennent en général les informations relatives au maillage de la structure et aux données expérimentales. Les fichiers unv sont des fichiers ascii. Chaque ensemble de données est appelé « dataset », et est encadré dans le fichier par deux « -1 ». Le nombre qui suit la première occurrence « -1 » correspond au type de dataset. Chaque dataset est composé de plusieurs lignes (record), et chaque ligne contient des données rangées en colonnes (field)

Dans l'exemple ci-dessous, on présente quelques lignes d'un dataset 55, qui décrit une base de modes propres.

```
-1
55 %VALEURS AUX NOEUDS
ASTER 7.03.29 CONCEPT MODINTS1 CALC - CHAMP AUX NOEUDS DE NOM SYMBOLIQUE
CHAMP AUX NOEUDS DE NOM SYMBOLIQUE DEPL - DX DY DZ DRX DRY DRZ
ASTER 7.03.29 CONCEPT MODINTS1 CALCULE LE 22/11/2004 A 19:24:57 DE TYPE
CHAMP AUX NOEUDS DE NOM SYMBOLIQUE DEPL
NUMERO D'ORDRE: 1 NUME_MODE: 1 FREQ: 2.66902E-01
      1      2      3      8      2      6
      2      4      1      1      1
2.18331e+01 1.00000e+00 3.74657e-03
1011 % NOEUD NO1011
-1.37933E-001 7.39432E-007 3.38287E-001 0.00000E+000 0.00000E+000 0.00000E+000
1001 % NOEUD NO1001
-1.37933E-001-2.80459E-009 1.72767E-001 0.00000E+000 0.00000E+000 0.00000E+000
-1
```

#### 2.1.1 Le maillage

Plusieurs data sets sont utilisés par les logiciels de mesure pour décrire un maillage. Celui présenté ici est le format utilisé par LMS pour exporter des maillages simples, composés uniquement de nœuds et de lignes les reliant. Les nœuds sont décrits par le data set 2411, et les connectivités par le data set 82 (exemple ci-dessous).

```

-1
2411
      1      0      0      8
0.0000000000000000e+000 0.0000000000000000e+000 0.0000000000000000e+000
      2      0      0      8
0.0000000000000000e+000 1.199999973177910e-001 0.0000000000000000e+000
      3      0      0      8
0.0000000000000000e+000 3.300000131130219e-001 0.0000000000000000e+000

-1
-1
82
      1      30      8
LDN
      1      2      3      0      0      0      0
-1
    
```

L'importation du maillage se fait dans Code\_Aster avec PRE\_IDEAS . La description des data sets 2411 et 82 est détaillée en annexe 5.1 .

## 2.1.2 Les données temporelles brutes, et FRF

Il est possible d'importer les données temporelles brutes, ou des FRF dans Code\_Aster, afin de les comparer à des données simulées. Ces données sont stockées dans les fichiers unv sous le data set 58. On donne ci-dessous un exemple de ce type de data set :

```

-1
58
FRF (H1-estimator)
response / load
95-Oct-12 11:52:48
Alternate/identified FRF"
NONE
      0      4      0      139      NONE      1011      3      NONE      12      -3
      5      3124      1 4.00390e+000 1.95312e-002 0.00000e+000
      18      0      0      0 Frequency Hz
      12      1      0      0 Channel 3(3) m/s2
      13      0      1      0 Channel 1(1) N
      0      0      0      0 Unknown NONE
-1.33781e-001-5.07456e-003-1.31790e-001-5.19607e-003-1.29762e-001-5.32069e-003
-1.27699e-001-5.44850e-003-1.25597e-001-5.57962e-003-1.23458e-001-5.71414e-003
-1.21279e-001-5.85217e-003-1.19060e-001-5.99383e-003-1.16800e-001-6.13924e-003
-1.14497e-001-6.28851e-003-1.12151e-001-6.44177e-003-1.09760e-001-6.59917e-003
-1.07324e-001-6.76083e-003-1.04841e-001-6.92691e-003-1.02310e-001-7.09754e-003
    
```

Les headers décrivent le type de données. Ici, il s'agit d'une FRF « accélération/force », sur le degré de liberté 1011: +Z par rapport à la référence 12: -Z . Pour plus de détails, voir la documentation de référence du data set 58 en annexe 5.2 .

L'utilisation de LIRE\_RESU dans ce cas ne pose pas de problèmes particuliers, et est décrit dans le cas-test sdfs112a. A noter :

- les structures de données créées (temporelles ou fréquentielles) ne sont remplies que pour les DDL correspondant aux données lues. Cela peut engendrer des structures de données incomplètes, contrairement au *data set 55* dans lequel tous les degrés de liberté ont une valeur définie,
- la structure de données définie utilise un système de coordonnées local, avec les composantes D1 , D2 , et D3 , dont les orientations sont données dans les composantes D1X , D1Y , D1Z , D2X , D2Y ... Il n'est pas possible d'afficher le résultat dans Salomé.
- Pour plus de détails, voir la documentation de LIRE\_RESU .

## 2.1.3 Les bases de modes identifiés

Les modes identifiés sont stockés dans le *dataset 55*, qui est dédié aux champs aux nœuds. Dans le *dataset 58*, chaque bloc correspond à une fonction sur un nœud (équivalent à une fonction dans Aster), tandis que dans le *dataset 55*, chaque bloc correspond à un champ aux nœuds (un `cham_no` dans Aster).

```
-1
55 %VALEURS AUX NOEUDS
ASTER 7.03.29 CONCEPT MODINTS1 CALC - CHAMP AUX NOEUDS DE NOM SYMBOLIQUE
CHAMP AUX NOEUDS DE NOM SYMBOLIQUE DEPL - DX DY DZ DRX DRY DRZ
ASTER 7.03.29 CONCEPT MODINTS1 CALCULE LE 22/11/2004 A 19:24:57 DE TYPE
CHAMP AUX NOEUDS DE NOM SYMBOLIQUE DEPL
NUMERO D'ORDRE: 1 NUME_MODE: 1 FREQ: 2.18331E+01
      1      2      2      8      2      3
      2      4      1      1
2.18331e+01 1.00000e+00 3.74657e-03
      1011 % NOEUD NO1011
-1.37933E-001 7.39432E-007 3.38287E-001
      1001 % NOEUD NO1001
-1.37933E-001-2.80459E-009 1.72767E-001
-1
```

La documentation détaillée du data set est donnée en annexe 5.3 .

Il est important de comprendre certaines caractéristiques de ce stockage, car les données doivent être rappelées à l'appel de `LIRE_RESU`. Notamment :

- Record 6 (1,2,2,8,2,3) :
  - 1 : domaine de la mécanique des structures,
  - 2 : on décrit un mode propre (« normal mode »)
  - 2 : 3 degrés de liberté par noeud,
  - 8 : champ de déplacement,
  - 2 : champ réel (5 pour complexe),
  - 6 : nombre de colonnes de valeurs
- Record 7 (2,4,1,1) :
  - 2,4 : spécifique aux modes propres,
  - 1 : cas de charge (1 par défaut),
  - 1, numéro du mode
- Record 8 : 2.18331e+01 1.00000e+00 3.74657e-03 0.00000e+00
  - 2.18331e+01 : fréquence propre,
  - 1.00000e+00 : masse modale,
  - 3.74657e-03 : amortissement modal

La valeur de ces lignes est donnée dans `LIRE_RESU`, comme le montre l'exemple ci-dessous. Cela permet notamment à Aster de différencier dans un fichier unv les modes propres classiques des résidus statiques qui sont souvent calculés par les logiciels utilisés.

```
MODMES=LIRE_RESU (TYPE_RESU='MODE_MECA',
  FORMAT='IDEAS',
  MODELE=MODEXP,
  UNITE=21,
  NOM_CHAM='DEPL',
  MATR_RIGI =KASSEXP,
  MATR_MASS =MASSEXP,
  FORMAT_IDEAS=_F(NOM_CHAM='DEPL',
    NUME_DATASET=55,
    RECORD_6=(1,2,2,8,2,3),
    POSI_ORDRE=(7,4),
    POSI_NUME_MODE=(7,4),
    POSI_FREQ=(8,1),
    POSI_MASS_GENE=(8,2),
    POSI_AMOR_GENE=(8,3),
    NOM_CMP=('DX','DY','DZ')),
  TOUT_ORDRE='OUI',) ;
```

## 2.2 Création d'un modèle expérimental dans Code\_Aster

La manipulation de données expérimentales dans Code\_Aster nécessite de créer les structures de données adéquates, avec le formalisme du code. On doit donc reproduire toutes les étapes de la création du modèle, jusqu'à l'assemblage des matrices qui sont utilisées dans LIRE\_RESU (mots-clés MATR\_RIGI et MATR\_MASS dans l'exemple ci-dessus).

## 2.2.1 Cas général

Dans le cas général, les nœuds sont tous reliés les uns aux autres par des éléments SEG2 linéaires. Les commandes à enchaîner sont les suivantes :

- importation et lecture du maillage avec PRE\_IDEAS et LIRE\_MALLAGE ,
- affectation d'une modélisation mécanique de type DIS\_T ; on pourrait utiliser une modélisation DIS\_TR dans le cas où le champ à lire aurait 6 degrés de liberté par nœuds (par exemple, si on est capable de mesurer les degrés de liberté de rotation),
- affectation de caractéristiques géométriques en masse et raideur arbitraires sur les nœuds et segments avec AFFE\_CARA\_ELEM ,
- assemblage des matrices avec ASSEMBLAGE ,
- lecture des données avec LIRE\_RESU .

Exemple : cas-test sds112a, légèrement modifié afin de ne pas prendre en compte les nœuds orphelins.

```
PRE_IDEAS (UNITE_IDEAS=32,UNITE_MALLAGE=22);

MAYAEXP=LIRE_MALLAGE (UNITE=22);

MAYAEXP=DEFI_GROUP (reuse =MAYAEXP,
                    MAILLAGE=MAYAEXP,
                    CREA_GROUP_MA=_F (NOM='ALL_EXP',TOUT='OUI',),
                    CREA_GROUP_NO=_F (GROUP_MA='ALL_EXP',),);

MODEXP=AFFE_MODELE (MAILLAGE=MAYAEXP,
                    AFFE=_F (GROUP_MA='ALL_EXP',
                              PHENOMENE='MECANIQUE',
                              MODELISATION='DIS_T',),);

CHCAREXP=AFFE_CARA_ELEM (MODELE=MODEXP,
                         DISCRET=( _F (GROUP_MA='ALL_EXP',
                                         CARA='K_T_D_L',
                                         VALE=(1.0,1.0,1.0),),
                                     _F (GROUP_MA='ALL_EXP',
                                         REPERE='GLOBAL',
                                         CARA='M_T_D_L',
                                         VALE=(1.0,),),),);

ASSEMBLAGE (          MODELE=MODEXP,
                  CARA_ELEM=CHCAREXP,
                  NUME_DDL=CO ('NUMEXP'),
                  MATR_ASSE=( _F (MATRICE=CO ('KASSEXP'),
                                    OPTION='RIGI_MECA',),
                              _F (MATRICE=CO ('MASSEXP'),
                                    OPTION='MASS_MECA',),),);

MODMES=LIRE_RESU (TYPE_RESU='MODE_MECA',
                  FORMAT='IDEAS',
                  MODELE=MODEXP,
                  UNITE=32,
                  NOM_CHAM='DEPL',
                  MATR_RIGI =KASSEXP,
                  MATR_MASS =MASSEXP,
                  FORMAT_IDEAS=_F (NOM_CHAM='DEPL',
                                    NUME_DATASET=55,
                                    RECORD_6=(1,2,2,8,2,3),
                                    POSI_ORDRE=(7,4,),
                                    POSI_NUME_MODE=(7,4),
                                    POSI_FREQ=(8,1,),
                                    POSI_MASS_GENE=(8,2),
                                    POSI_AMOR_GENE=(8,3),
                                    NOM_CMP=('DX','DY','DZ'),),
                  TOUT_ORDRE='OUI',);
```

Quelques conseils et pièges à éviter :

- L'ordre des composantes (mot-clé `NOM_CMP` ) dans `LIRE_RESU` n'est pas obligatoire ; il est possible de faire un changement de repère simple (semblable pour tous les nœuds) en choisissant judicieusement l'ordre des composantes.
- Attention au mot-clé `RECORD_6` , celui-ci peut varier ; c'est notamment le cas lorsque le fichier `unv` a été créé par `Code_Aster` lui-même. En effet, il peut arriver que les données soient imprimées sur 6 colonnes, dans le cas où l'utilisateur a imprimé ses données sur une modélisation `DIS_TR` . Les 3 dernières colonnes contiennent les degrés de liberté de rotation. C'est le cas dans le cas-test `sdl112a`. On peut ne relire que les trois premières si le modèle expérimental ne possède que 3 degrés de liberté par nœud.
- Il est possible de lire des données issues de jauges de déformation. Dans ce cas,
  - `NOM_CHAM='EPSI_NOEU'` ,
  - `NOM_CMP=('EPXX','EPYY'...)` à choisir selon le repère utilisé.
- Pour comparer ces données à des données numériques, on pourra utiliser la macro-commande `OBSERVATION` .

## 2.2.2 Cas des nœuds orphelins

Il n'est pas conseillé d'utiliser des nœuds orphelins dans le maillage, car les champs associés sont difficiles à visualiser dans Salomé. On peut néanmoins lire des données expérimentales sur ces nœuds, à condition de leur appliquer une modélisation spécifique de type ponctuelle (`POI1` ).

Le cas est traité dans le cas-test `sdl112a`.

```
MAYAEXP=CREA_MAILLAGE(MAILLAGE=MAYAtmp,  
                      CREA_POI1=_F(TOUT='OUI',NOM_GROUP_MA='NOEU'),)  
  
MODEXP=AFFE_MODELE(MAILLAGE=MAYAEXP,  
                  AFPE=_F(GROUP_MA='NOEU',  
                          PHENOMENE='MECANIQUE',  
                          MODELISATION='DIS_T',),),)  
  
CHCAREXP=AFFE_CARA_ELEM(MODELE=MODEXP,  
                        DISCRET=( _F(GROUP_MA='NOEU',  
                                     REPERE='GLOBAL',  
                                     CARA='K_T_D_N',  
                                     VALE=(1.0,1.0,1.0),),),  
                          _F(GROUP_MA='NOEU',  
                              REPERE='GLOBAL',  
                              CARA='M_T_D_N',  
                              VALE=(1.0,),),), ) ;
```

## 3 Validation de modèle par critère de MAC

### 3.1 Qu'est-ce que le MAC ?

Le MAC, Modal Assurance Criterion, est un critère compris entre 0 et 1 donnant la colinéarité entre deux modes par rapport à une norme donnée.

$$MAC_{ij} = \frac{(\Phi_i^H W \Phi_j)^2}{(\Phi_i^H W \Phi_i)(\Phi_j^H W \Phi_j)}$$

L'utilisation des matrices de pondération ( $W$  dans la formule) est facultative. Lorsqu'on les connaît, on peut utiliser les matrices de masse ou de raideur du modèle. C'est le cas lorsqu'on manipule des données numériques, car les matrices ont été assemblées sur le modèle. Elle permet de vérifier l'orthogonalité des modes propres par rapport aux matrices de masse et de raideur :

- $MAC_{ij} = 1$  si  $i = j$
- $MAC_{ij} = 0$  sinon

Mais lorsqu'on manipule des données expérimentales, on ne connaît pas les matrices condensées sur ce modèle. On peut les fabriquer par condensation de Guyan à partir du modèle numérique, mais celui-ci n'étant pas recalé, on risque de commettre une erreur.

On peut, plus simplement, calculer le MAC sans matrice de pondération, et regarder la colinéarité des modes sur la norme  $L_2$ .

- Si l'objectif est de vérifier l'orthogonalité de la base, on peut considérer, en première approximation, que le MAC sans matrice de pondération est assez semblable au MAC pondéré par la matrice de masse,
- Si l'objectif est de comparer deux bases de modes entre elles, alors, le choix de cette norme est équivalent aux autres : le MAC vaudra 1 si les modes sont colinéaires (donc s'ils « se ressemblent ») et 0 sinon.

NB : l'utilisation du MAC sur des modes expérimentaux permet notamment de vérifier la capacité des capteurs à séparer les modes. En effet, plus on a de capteurs, plus les modes « auront l'air différents » vus de ceux-ci. Le MAC de deux modes différents correctement identifiés sera donc proche de 0. Si on a un seul capteur, alors le MAC entre deux modes vaudra toujours 1 : les modes ne sont pas séparables.

## 3.2 Projection de champs

### 3.2.1 Projection des données numériques sur le modèle expérimental avec PROJ\_CHAMP

Les modes ne sont comparables que s'ils sont définis sur le même modèle. On projette donc la base de modes numérique, calculée avec *Code\_Aster*, sur le modèle expérimental, avec la commande PROJ\_CHAMP.

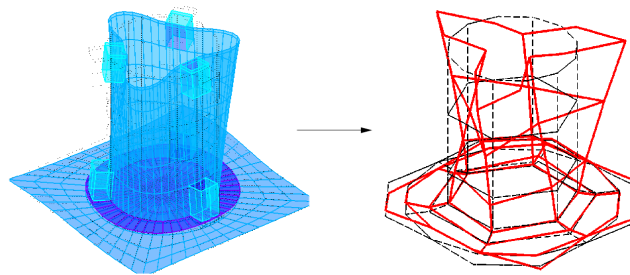


Image 3.2-1: projection de données.

Remarques :

- Note importante : il faut préciser, dans PROJ\_CHAMP, le nom du NUME\_DDL du modèle expérimental, de manière à ce que les numérotations des modes expérimentaux et des modes numériques projetés soient les mêmes.
- Si le NUME\_DDL n'est pas le même, on ne pourra pas calculer de critère de MAC.
- Dans PROJ\_CHAMP, il est nécessaire de spécifier la dimension sur laquelle on projette : par défaut, on va associer les nœuds du modèle expérimental à des éléments 3D du modèle numérique.
- Si le modèle numérique est constitué d'éléments de plaque, il faut le préciser avec CAS='2.5D',
- Si le modèle numérique est composé d'éléments 3D et 2D, alors il n'est pas possible de spécifier plusieurs types de projections. Une solution proposée est d'affecter une modélisation de plaque (DKT par exemple) aux éléments de peau qui recouvrent les éléments 3D et de se placer dans le cas '2.5D'.
- L'opérateur OBSERVATION permet de réaliser la même opération, avec des options supplémentaires :
- utilisation de repères locaux capteurs par capteurs,
- suppression des données mesurées de la structure de données résultat (pour les cas où la mesure avait été faite avec des capteurs uni-axiaux),
- création d'une structure de données mixtes comprenant des données accélérométriques et extensiométriques, pour reproduire une mesure accéléromètres + jauges,
- simulation d'une « jauge virtuelle ».
- La description de cet opérateur est proposée dans le paragraphe suivant.

## 3.2.2 Utilisation de la macro-commande OBSERVATION pour le projection des données

On propose de donner un exemple pratique de l'utilisation de la macro-commande sur le cas suivant :

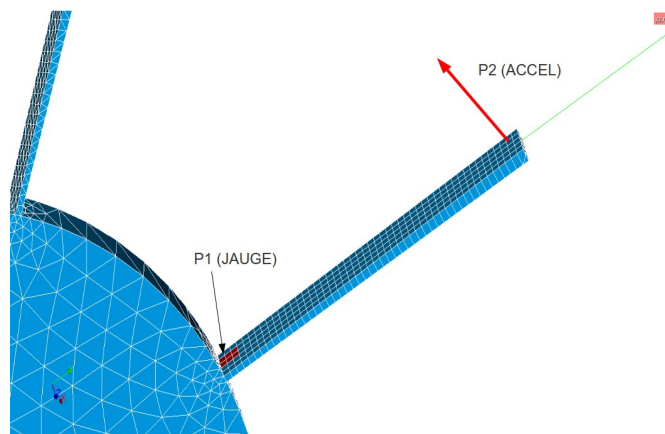


Image 3.2-2: mesure des vibrations d'une ailette à l'aide d'une jauge et d'un accéléromètre.

On suppose avoir mesuré les vibrations de la roue aubagée représentée sur le maillage ci-dessous en posant une jauge à la base de chaque ailette et un accéléromètre au sommet. Les modes propres identifiés sont exportés au format unv **sans passer au repère global**. Les vibrations au sommet n'ayant été mesurées que dans une direction, on aura un ligne de la forme :

2	4	1	1
2.18331e+01	1.00000e+00	3.74657e-03	
1	% NOEUD NO1		
0.00000e+00	0.00000e+00	7.39432e-01	
-1			

Sur le nœud *NO1*, seule la composante locale *DZ* a été mesurée. Les directions non mesurées sont mises à 0. Il n'est pas possible, dans un data set 55, de faire la différence entre données non mesurées et mesures nulles.

Pour comparer les données expérimentales et les modes propres numériques réduits, deux opérations sont nécessaires :

- sur les données expérimentales, on filtre les modes de manière à éliminer les données non mesurées, en ne gardant qu'une direction pour la jauge et l'accéléromètre
- on utilise `OBSERVATION` sans projection ( `PROJECTION='NON'` ), car on ne fait que filtrer les données,

```
OBSMXT = OBSERVATION( RESULTAT = MESURE,
MODELE_1 = MODMESUR,
MODELE_2 = MODMESUR,
PROJECTION = 'NON',
TOUT_ORDRE = 'OUI',
NOM_CHAM = ('DEPL','EPSI_NOEU',),
FILTRE = ( _F( GROUP_NO = 'P1',
NOM_CHAM = 'EPSI_NOEU',
DDL_ACTIF = ('EPXX',),),
_F( GROUP_NO = 'P2',
NOM_CHAM = 'DEPL',
DDL_ACTIF = ('DZ',),), ), );
```

- sur les données numériques, on projette les modes propres sur les modèle expérimental :
- on utilise `PROJECTION='OUI'` ,
- on calcule la déformation moyenne pour le groupe de nœuds en rouge sur la figure avant de réaliser la projection : cette surface correspond à la surface effectivement mesurée par la jauge,

- on fait les changements de repère, en utilisant l'option 'NORMALE' : on calcule la normale au maillage numérique pour définir l'axe Z du repère local (le second axe est défini avec le mot-clé VECT\_Y) ; ici, on aurait pu aussi utiliser l'option 'CYNLINDRIQUE'.
- on filtre les composantes correspondant aux données mesurées.

```
OBSJAU = OBSERVATION( RESULTAT = CALCUL,
                      MODELE_1 = MODNUME,
                      MODELE_2 = MODMESUR,
                      PROJECTION = 'OUI',
                      TOUT_ORDRE = 'OUI',
                      NOM_CHAM = 'EPSI_NOEU',
                      EPSI_MOYENNE = _F( GROUP_MA='SURF1', SEUIL_VARI=(0.1, ),
                                         MASQUE=('EPYY', 'EPZZ', 'EPXY',
                                                  'EPXZ', 'EPYZ'), ),
                      MODI_REPERE = _F( GROUP_NO = ('P1', 'P2'),
                                         REPERE = 'NORMALE',
                                         VECT_Y = (0., 1., 0.)), ),
                      FILTRE = ( _F( GROUP_NO = 'P1',
                                     NOM_CHAM = 'EPSI_NOEU',
                                     DDL_ACTIF = ('EPXX'), ),
                                _F( GROUP_NO = 'P2',
                                     NOM_CHAM = 'DEPL',
                                     DDL_ACTIF = ('DZ', ), ), ), );
```

### 3.3 Calcul du MAC entre deux bases de modes

Le calcul du MAC peut être réalisé avec l'opérateur MAC\_MODES, qui calcule la matrice de MAC entre tous les modes de deux bases. La structure de données produite est une table, qu'on imprime avec INFO=2 dans MAC\_MODES.

Le mot-clé MATR\_ASSE permet d'utiliser une matrice de pondération.  
La table imprimée a la forme suivante :

```
ASTER 11.01.03 CONCEPT MAC_ET CALCULE LE 15/02/2012 A 14:18:54 DE TYPE
TABLE_SDASTER
MAC
! NUME_MODE_1
! 1 2 3 4 5
-----
NUME_MODE_2
1 ! 1.00000E+00 2.17692E-14 7.49505E-16 5.23742E-22 1.66188E-21
2 ! 2.17692E-14 1.00000E+00 4.21440E-13 9.40269E-19 1.12652E-19
3 ! 7.49505E-16 4.21440E-13 1.00000E+00 7.24387E-18 1.28403E-17
4 ! 5.23742E-22 9.40269E-19 7.24387E-18 1.00000E+00 2.11012E-13
5 ! 1.66188E-21 1.12652E-19 1.28403E-17 2.11012E-13 1.00000E+00
```

On peut visualiser le MAC produit dans excel, ou utiliser la macro-commande CALC\_ESSAI, qui propose un visualisation en 2D. Pour cela, lancer la macro-commande sans mot-clés à la fin du calcul, et se positionner sur l'onglet « expansion de modèles ».

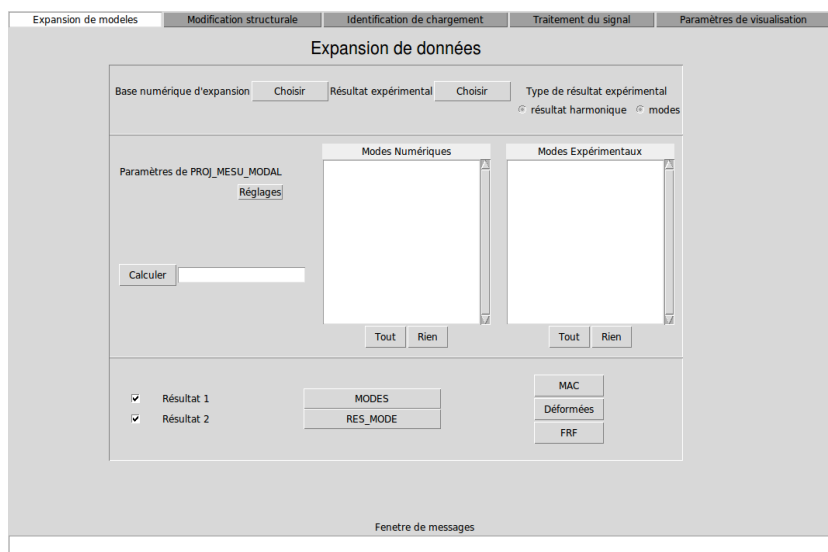


Image 3.3-1: Image 3.3-1: CALC\_ESSAI : expansion de modèles.

Dans le cadre du bas, choisir les deux bases de modes à comparer (si une seule des deux bases est sélectionnée, on fera un MAC de la base par elle-même), et cliquer sur MAC. Si les bases choisies ne sont pas définies sur le même modèle, le bouton MAC est grisé.  
La matrice de MAC qui apparaît est la suivante :

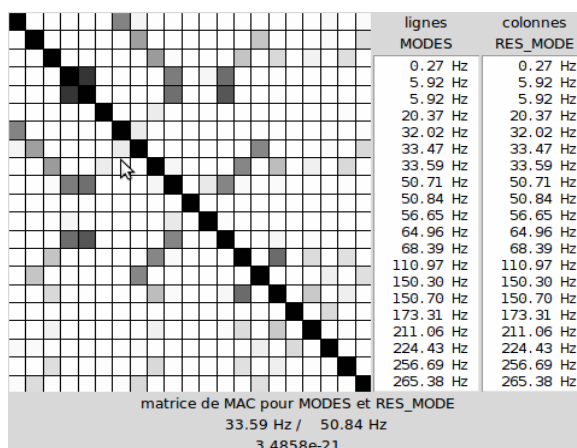


Image 3.3-2: MAC entre deux bases de modes visualisé sous CALC\_ESSAI.

En passant la souris sur les cases, on voit en bas les fréquences des modes concernés et la valeur du MAC pour ces derniers.

NB : en annexe 5.4, on propose un script utilisant la bibliothèque python matplotlib permettant de créer des diagrammes de MAC en 3D plus aisément interprétables que celui implémenté par défaut dans CALC\_ESSAI. A plus long terme, on étudie la faisabilité d'intégrer le MAC 3D par défaut à l'opérateur.

## 4 Autres méthodes de validation

### 4.1 Validation par comparaison visuelle de déformées modales

Ce mode de validation est le plus direct. Il peut se faire en imprimant de manière classique les déformées modales dans Salomé.

NB : dans CALC\_ESSAI, dans l'onglet « Expansion de modèles », il est possible de sélectionner une ou deux bases (en face de « Résultat 1 » et « Résultat 2 ») et de les visualiser dans GMSH en cliquant sur « Déformées ». Il n'est pas possible actuellement de visualiser les déformées dans Salomé, ce développement doit être réalisé en 2012 (en ajoutant la possibilité de superposer les déformées).

## 4.2 Validation par comparaison de FRF

On propose une procédure dans CALC\_ESSAI permettant de comparer une FRF issue de la mesure à une FRF simulée par coup de marteau. Cette méthode de validation est différente, car la comparaison se fait sur un point de mesure à la fois, mais sur une bande de fréquence étendue. Elle permet de vérifier la validité même du modèle modal.

Pour cela, cliquer sur « FRF » dans l'onglet « Expansion de modèles ». La fenêtre suivante apparaît :

Image 4.2-1: simulations de FRF dans CALC\_ESSAI.

On peut sélectionner d'un côté un concept de type modes et simuler une FRF, et visualiser de l'autre côté une FRF expérimentale mesurée. En affichant les courbes, on peut obtenir le graphe suivant, produit dans XMGrace :

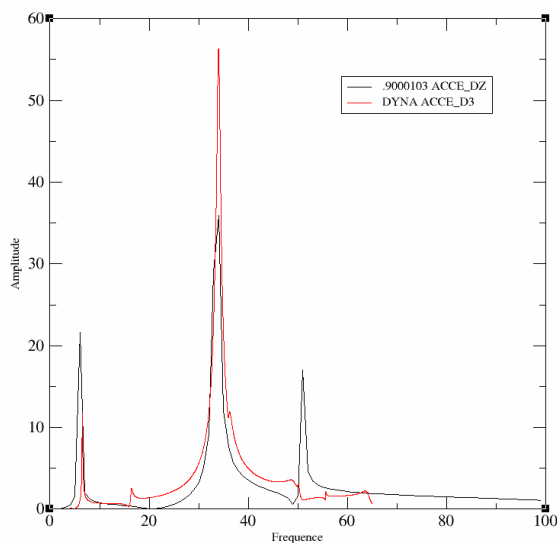


Image 4.2-2: affichage de FRF dans XMGrace.

## 5 Annexe

### 5.1 Documentation unv sur les data set de maillage

#### Data set 2411 : description des nœuds :

```
Name: Nodes - Double Precision
Status: Current
Owner: Simulation
Revision Date: 23-OCT-1992
-----
Record 1: FORMAT(4I10)
          Field 1 -- node label
          Field 2 -- export coordinate system number
          Field 3 -- displacement coordinate system number
          Field 4 -- color
Record 2: FORMAT(1P3D25.16)
          Fields 1-3 -- node coordinates in the part coordinate
                    system

Records 1 and 2 are repeated for each node in the model.

Example:

-1
2411
   121      1      1      11
5.0000000000000000D+00  1.0000000000000000D+00  0.0000000000000000D+00
   122      1      1      11
6.0000000000
```

**Data set 82 : description des connectivités** : ce data set n'est plus utilisé que dans les cas très particuliers de maillages expérimentaux. Les éléments sont plus généralement décrits par le data set 2412.

```
Name: Tracelines
Status: Obsolete
Owner: Simulation
Revision Date: 27-Aug-1987
Additional Comments: This dataset is written by I-DEAS Test.
-----

Record 1: FORMAT(3I10)
          Field 1 - trace line number
          Field 2 - number of nodes defining trace line
                    (maximum of 250)
          Field 3 - color

Record 2: FORMAT(80A1)
          Field 1 - Identification line

Record 3: FORMAT(8I10)
          Field 1 - nodes defining trace line
                    = > 0 draw line to node
                    = 0 move to node (a move to the first
                    node is implied)

Notes: 1) MODAL-PLUS node numbers must not exceed 8000.
       2) Identification line may not be blank.
       3) Systan only uses the first 60 characters of the
          identification text.
       4) MODAL-PLUS does not support trace lines longer than
          125 nodes.
       5) Supertab only uses the first 40 characters of the
          identification line for a name.
       6) Repeat Datasets for each Trace_Line
```

#### Data set 2412 : description des éléments (modèle EF classique) :

```
Name: Elements
Status: Current
Owner: Simulation
Revision Date: 14-AUG-1992
-----
Record 1:      FORMAT(6I10)
               Field 1      -- element label
               Field 2      -- fe descriptor id
               Field 3      -- physical property table number
               Field 4      -- material property table number
               Field 5      -- color
               Field 6      -- number of nodes on element

Record 2:      *** FOR NON-BEAM ELEMENTS ***
               FORMAT(8I10)
               Fields 1-n   -- node labels defining element

Record 2:      *** FOR BEAM ELEMENTS ONLY ***
               FORMAT(3I10)
               Field 1      -- beam orientation node number
               Field 2      -- beam fore-end cross section number
               Field 3      -- beam aft-end cross section number

Record 3:      *** FOR BEAM ELEMENTS ONLY ***
               FORMAT(8I10)
               Fields 1-n   -- node labels defining element

Records 1 and 2 are repeated for each non-beam element in the model.
Records 1 - 3 are repeated for each beam element in the model.

Example:

  -1
 2412
    1      11      1      5380      7      2
    0      1      1
    1      2
    2      21      2      5380      7      2
    0      1      1
    3      4
    3      22      3      5380      7      2
    0      1      2
    5      6
    6      91      6      5380      7      3
    11     18     12
    9      95      6      5380      7      8
    22     25     29     30     31     26     24     23
    14     136    8      0      7      2
    53     54
    36     116    16     5380      7      20
    152    159    168    167    166    158    150    151
    154    170    169    153    157    161    173    172
    171    160    155    156
  -1
```

## 5.2 Documentation de référence sur le data set 58

```
Number: 58
Name: Function at Nodal DOF
Status: Current
Owner: Test
Revision Date: 23-Apr-1993
-----
Record 1:      Format(80A1)
               Field 1      - ID Line 1

                               NOTE

               ID Line 1 is generally used for the function
               description.

Record 2:      Format(80A1)
```

	Field 1	- ID Line 2
Record 3:	Format(80A1)	
	Field 1	- ID Line 3
		NOTE
		ID Line 3 is generally used to identify when the function was created. The date is in the form DD-MMM-YY, and the time is in the form HH:MM:SS, with a general Format(9A1,1X,8A1).
Record 4:	Format(80A1)	
	Field 1	- ID Line 4
Record 5:	Format(80A1)	
	Field 1	- ID Line 5
Record 6:	Format(2(I5,I10),2(1X,10A1,I10,I4))	
		DOF Identification
	Field 1	- Function Type
		0 - General or Unknown
		1 - Time Response
		2 - Auto Spectrum
		3 - Cross Spectrum
		4 - Frequency Response Function
		5 - Transmissibility
		6 - Coherence
		7 - Auto Correlation
		8 - Cross Correlation
		9 - Power Spectral Density (PSD)
		10 - Energy Spectral Density (ESD)
		11 - Probability Density Function
		12 - Spectrum
		13 - Cumulative Frequency Distribution
		14 - Peaks Valley
		15 - Stress/Cycles
		16 - Strain/Cycles
		17 - Orbit
		18 - Mode Indicator Function
		19 - Force Pattern
		20 - Partial Power
		21 - Partial Coherence
		22 - Eigenvalue
		23 - Eigenvector
		24 - Shock Response Spectrum
		25 - Finite Impulse Response Filter
		26 - Multiple Coherence
		27 - Order Function
	Field 2	- Function Identification Number
	Field 3	- Version Number, or sequence number
	Field 4	- Load Case Identification Number
		0 - Single Point Excitation
	Field 5	- Response Entity Name ("NONE" if unused)
	Field 6	- Response Node
	Field 7	- Response Direction
		0 - Scalar
		1 - +X Translation
		2 - +Y Translation
		3 - +Z Translation
		-1 - -X Translation
		-2 - -Y Translation
		-3 - -Z Translation
		4 - +X Rotation
		5 - +Y Rotation
		6 - +Z Rotation
		-4 - -X Rotation
		-5 - -Y Rotation
		-6 - -Z Rotation
	Field 8	- Reference Entity Name ("NONE" if unused)
	Field 9	- Reference Node
	Field 10	- Reference Direction (same as field 7)
		NOTE
		Fields 8, 9, and 10 are only relevant if field 4 is zero.
Record 7:	Format(3I10,3E13.5)	
		Data Form
	Field 1	- Ordinate Data Type

```

                2 - real, single precision
                4 - real, double precision
                5 - complex, single precision
                6 - complex, double precision
Field 2      - Number of data pairs for uneven abscissa
              spacing, or number of data values for even
              abscissa spacing
Field 3      - Abscissa Spacing
              0 - uneven
              1 - even (no abscissa values stored)
Field 4      - Abscissa minimum (0.0 if spacing uneven)
Field 5      - Abscissa increment (0.0 if spacing uneven)
Field 6      - Z-axis value (0.0 if unused)

Record 8:    Format (I10,3I5,2(1X,20A1))
              Abscissa Data Characteristics
Field 1      - Specific Data Type
              0 - unknown
              1 - general
              2 - stress
              3 - strain
              5 - temperature
              6 - heat flux
              8 - displacement
              9 - reaction force
              11 - velocity
              12 - acceleration
              13 - excitation force
              15 - pressure
              16 - mass
              17 - time
              18 - frequency
              19 - rpm
              20 - order
Field 2      - Length units exponent
Field 3      - Force units exponent
Field 4      - Temperature units exponent
    
```

NOTE

Fields 2, 3 and 4 are relevant only if the Specific Data Type is General, or in the case of ordinates, the response/reference direction is a scalar, or the functions are being used for nonlinear connectors in System Dynamics Analysis. See Addendum 'A' for the units exponent table.

```

Field 5      - Axis label ("NONE" if not used)
Field 6      - Axis units label ("NONE" if not used)
    
```

NOTE

If fields 5 and 6 are supplied, they take precedence over program generated labels and units.

```

Record 9:    Format (I10,3I5,2(1X,20A1))
              Ordinate (or ordinate numerator) Data Characteristics

Record 10:   Format (I10,3I5,2(1X,20A1))
              Ordinate Denominator Data Characteristics

Record 11:   Format (I10,3I5,2(1X,20A1))
              Z-axis Data Characteristics
    
```

NOTE

Records 9, 10, and 11 are always included and have fields the same as record 8. If records 10 and 11 are not used, set field 1 to zero.

```

Record 12:   Data Values

              Ordinate      Abscissa
              Type          Precision      Spacing      Format
-----
    
```

1	real	single	even	6E13.5
2	real	single	uneven	6E13.5
3	complex	single	even	6E13.5
4	complex	single	uneven	6E13.5
5	real	double	even	4E20.12
6	real	double	uneven	2 (E13.5,E20.12)
7	complex	double	even	4E20.12
8	complex	double	uneven	E13.5,2E20.12

-----

#### NOTE

See Addendum 'B' for typical FORTRAN READ/WRITE statements for each case.

#### General Notes:

1. ID lines may not be blank. If no information is required, the word "NONE" must appear in columns 1 through 4.
2. ID line 1 appears on plots in Finite Element Modeling and is used as the function description in System Dynamics Analysis.
3. Dataloaders use the following ID line conventions  
ID Line 1 - Model Identification  
ID Line 2 - Run Identification  
ID Line 3 - Run Date and Time  
ID Line 4 - Load Case Name
4. Coordinates codes from MODAL-PLUS and MODALX are decoded into node and direction.
5. Entity names used in System Dynamics Analysis prior to I-DEAS Level 5 have a 4 character maximum. Beginning with Level 5, entity names will be ignored if this dataset is preceded by dataset 259. If no dataset 259 precedes this dataset, then the entity name will be assumed to exist in model bin number 1.
6. Record 10 is ignored by System Dynamics Analysis unless load case = 0. Record 11 is always ignored by System Dynamics Analysis.
7. In record 6, if the response or reference names are "NONE" and are not overridden by a dataset 259, but the corresponding node is non-zero, System Dynamics Analysis adds the node and direction to the function description if space is sufficient.
8. ID line 1 appears on XY plots in Test Data Analysis along with ID line 5 if it is defined. If defined, the axis units labels also appear on the XY plot instead of the normal labeling based on the data type of the function.
9. For functions used with nonlinear connectors in System Dynamics Analysis, the following requirements must be adhered to:
  - a) Record 6: For a displacement-dependent function, the function type must be 0; for a frequency-dependent function, it must be 4. In either case, the load case identification number must be 0.
  - b) Record 8: For a displacement-dependent function, the specific data type must be 8 and the length units exponent must be 0 or 1; for a frequency-dependent function, the specific data type must be 18 and the length units exponent must be 0. In either case, the other units exponents must be 0.
  - c) Record 9: The specific data type must be 13. The temperature units exponent must be 0. For an ordinate numerator of force, the length and force units exponents must be 0 and 1, respectively. For an ordinate numerator of moment, the length and force units exponents must be 1 and 1, respectively.
  - d) Record 10: The specific data type must be 8 for

stiffness and hysteretic damping; it must be 11 for viscous damping. For an ordinate denominator of translational displacement, the length units exponent must be 1; for a rotational displacement, it must be 0. The other units exponents must be 0.

- e) Dataset 217 must precede each function in order to define the function's usage (i.e. stiffness, viscous damping, hysteretic damping).

## 5.3 Documentation de référence sur le data set 55

Name: Data at Nodes  
Status: Obsolete  
Owner: Simulation  
Revision Date: 07-Mar-1997  
Additional Comments: This dataset is written and read by I-DEAS Test.

RECORD 1: Format (40A2)  
FIELD 1: ID Line 1

RECORD 2: Format (40A2)  
FIELD 1: ID Line 2

RECORD 3: Format (40A2)  
FIELD 1: ID Line 3

RECORD 4: Format (40A2)  
FIELD 1: ID Line 4

RECORD 5: Format (40A2)  
FIELD 1: ID Line 5

RECORD 6: Format (6I10)

Data Definition Parameters

FIELD 1: Model Type  
0: Unknown  
1: Structural  
2: Heat Transfer  
3: Fluid Flow

FIELD 2: Analysis Type  
0: Unknown  
1: Static  
2: Normal Mode  
3: Complex eigenvalue first order  
4: Transient  
5: Frequency Response  
6: Buckling  
7: Complex eigenvalue second order

FIELD 3: Data Characteristic  
0: Unknown  
1: Scalar  
2: 3 DOF Global Translation Vector  
3: 6 DOF Global Translation & Rotation Vector  
4: Symmetric Global Tensor  
5: General Global Tensor

FIELD 4: Specific Data Type  
0: Unknown  
1: General  
2: Stress  
3: Strain (Engineering)  
4: Element Force  
5: Temperature  
6: Heat Flux  
7: Strain Energy

8: Displacement  
9: Reaction Force  
10: Kinetic Energy  
11: Velocity  
12: Acceleration  
13: Strain Energy Density  
14: Kinetic Energy Density  
15: Hydro-Static Pressure  
16: Heat Gradient  
17: Code Checking Value  
18: Coefficient Of Pressure

FIELD 5: Data Type  
2: Real  
5: Complex

FIELD 6: Number Of Data Values Per Node (NDV)

Records 7 And 8 Are Analysis Type Specific

General Form

RECORD 7: Format (8I10)

FIELD 1: Number Of Integer Data Values  
1 < Or = Nint < Or = 10  
FIELD 2: Number Of Real Data Values  
1 < Or = Nrval < Or = 12  
FIELDS 3-N: Type Specific Integer Parameters

RECORD 8: Format (6E13.5)

FIELDS 1-N: Type Specific Real Parameters

For Analysis Type = 0, Unknown

RECORD 7:

FIELD 1: 1  
FIELD 2: 1  
FIELD 3: ID Number

RECORD 8:

FIELD 1: 0.0

For Analysis Type = 1, Static

RECORD 7:

FIELD 1: 1  
FIELD 2: 1  
FIELD 3: Load Case Number

RECORD 8:

FIELD 11: 0.0

For Analysis Type = 2, Normal Mode

RECORD 7:

FIELD 1: 2  
FIELD 2: 4  
FIELD 3: Load Case Number  
FIELD 4: Mode Number

RECORD 8:

FIELD 1: Frequency (Hertz)  
FIELD 2: Modal Mass  
FIELD 3: Modal Viscous Damping Ratio  
FIELD 4: Modal Hysteretic Damping Ratio

For Analysis Type = 3, Complex Eigenvalue

RECORD 7:

```
FIELD 1: 2
FIELD 2: 6
FIELD 3: Load Case Number
FIELD 4: Mode Number

RECORD 8:

FIELD 1: Real Part Eigenvalue
FIELD 2: Imaginary Part Eigenvalue
FIELD 3: Real Part Of Modal A
FIELD 4: Imaginary Part Of Modal A
FIELD 5: Real Part Of Modal B
FIELD 6: Imaginary Part Of Modal B

For Analysis Type = 4, Transient

RECORD 7:

FIELD 1: 2
FIELD 2: 1
FIELD 3: Load Case Number
FIELD 4: Time Step Number

RECORD 8:
FIELD 1: Time (Seconds)

For Analysis Type = 5, Frequency Response

RECORD 7:

FIELD 1: 2
FIELD 2: 1
FIELD 3: Load Case Number
FIELD 4: Frequency Step Number

RECORD 8:
FIELD 1: Frequency (Hertz)

For Analysis Type = 6, Buckling

RECORD 7:

FIELD 1: 1
FIELD 2: 1
FIELD 3: Load Case Number

RECORD 8:

FIELD 1: Eigenvalue

RECORD 9: Format (I10)

FIELD 1: Node Number

RECORD 10: Format (6E13.5)
FIELDS 1-N: Data At This Node (NDV Real Or
Complex Values)

Records 9 And 10 Are Repeated For Each Node.
```

## 5.4 Script pour la représentation 3D d'un diagramme de MAC

Ce script peut être recopié en bas d'un fichier de commande, en remplaçant les noms *B1* et *B2* sur la dernière ligne par les noms des deux bases que l'on souhaite comparer par MAC.

Attention : ce script s'appuie sur la bibliothèque matplotlib qui doit être installée, et qui n'est pas actuellement un pré-requis de *Code\_Aster*. Il est prévu d'incorporer à *CALC\_ESSAI* les fonctionnalités permettant d'arriver à ce résultat, mais ce n'est pas le cas aujourd'hui.

```
def mac_plot_lib(BASE1,BASE2):
    """ calcule le mac entre deux bases, l'extrait et le represente dans un graphe 3d
    matplotlib"""
    __MAC=MAC_MODES(BASE_1=BASE1,
                    BASE_2=BASE2);

    mactmp=__MAC.EXTR_TABLE()
    mac = mactmp.Croise()
    mac_py = mac.values()

    import numpy as np
    from mpl_toolkits.mplot3d import axes3d
    import matplotlib.pyplot as plt

    freq_1 = BASE1.LIST_PARA()['FREQ']
    freq_2 = BASE2.LIST_PARA()['FREQ']
    nume_ordre_1 = BASE1.LIST_PARA()['NUME_ORDRE']
    nume_ordre_2 = BASE2.LIST_PARA()['NUME_ORDRE']
    nb_freq_1 = len(freq_1)
    nb_freq_2 = len(freq_2)
    matrice_mac = np.transpose(np.array([ mac_py[kk] for kk in nume_ordre_1]))

    fig = plt.figure()
    ax = axes3d.Axes3D(fig)

    # Create regular mesh from coordinates
    xpos,ypos = np.meshgrid(np.arange(nb_freq_1),range(nb_freq_2))
    xpos = xpos + 0.5*(np.ones(matrice_mac.shape)-matrice_mac)
    ypos = ypos + 0.5*(np.ones(matrice_mac.shape)-matrice_mac)
    xpos = xpos.flatten()
    ypos = ypos.flatten()
    dx = matrice_mac.flatten()
    dy = dx.copy()
    dz = dx.copy()
    zpos=np.zeros(nb_freq_1*nb_freq_2)

    for kk in range(len(xpos)):
        if dx[kk]<1.0E-6:
            # pour eviter les plantages en cas de mac trop petit
            dx[kk]=dy[kk]=dz[kk]=1.0E-6
            ax.bar3d(xpos[kk],ypos[kk],zpos[kk],
                    dx[kk],dy[kk],dz[kk],
                    color=mac2col(dz[kk]))

    ax.set_xlabel(u'FREQ_I')
    ax.set_ylabel(u'FREQ_J')
    ax.set_zlabel(u'MAC')
    plt.show()

def mac2col(value):
    # donne la valeur de la couleur correspondant a une valeur de MAC
    # comprise entre 0 et 1
    import matplotlib.colors as colors
    import matplotlib.cm as cm
    value = 1-value
    desc=cm.RdYlBu._segmentdata
    segments=[desc['blue'][kk][0] for kk in range(len(desc['blue']))]
    num_seg=0
    for kk in segments:
        if value > kk:
            num_seg = num_seg+1
    tri=(desc['red'][num_seg][1],
        desc['green'][num_seg][1],
        desc['blue'][num_seg][1])
    return colors.rgb2hex(tri)

mac_plot_lib(B1,B2)
```

Type de résultat attendu : un problème de visualisation 3D avec matplotlib a été relevé, aucune correction n'est pour le moment prévue. Ce problème n'est pas très gênant.

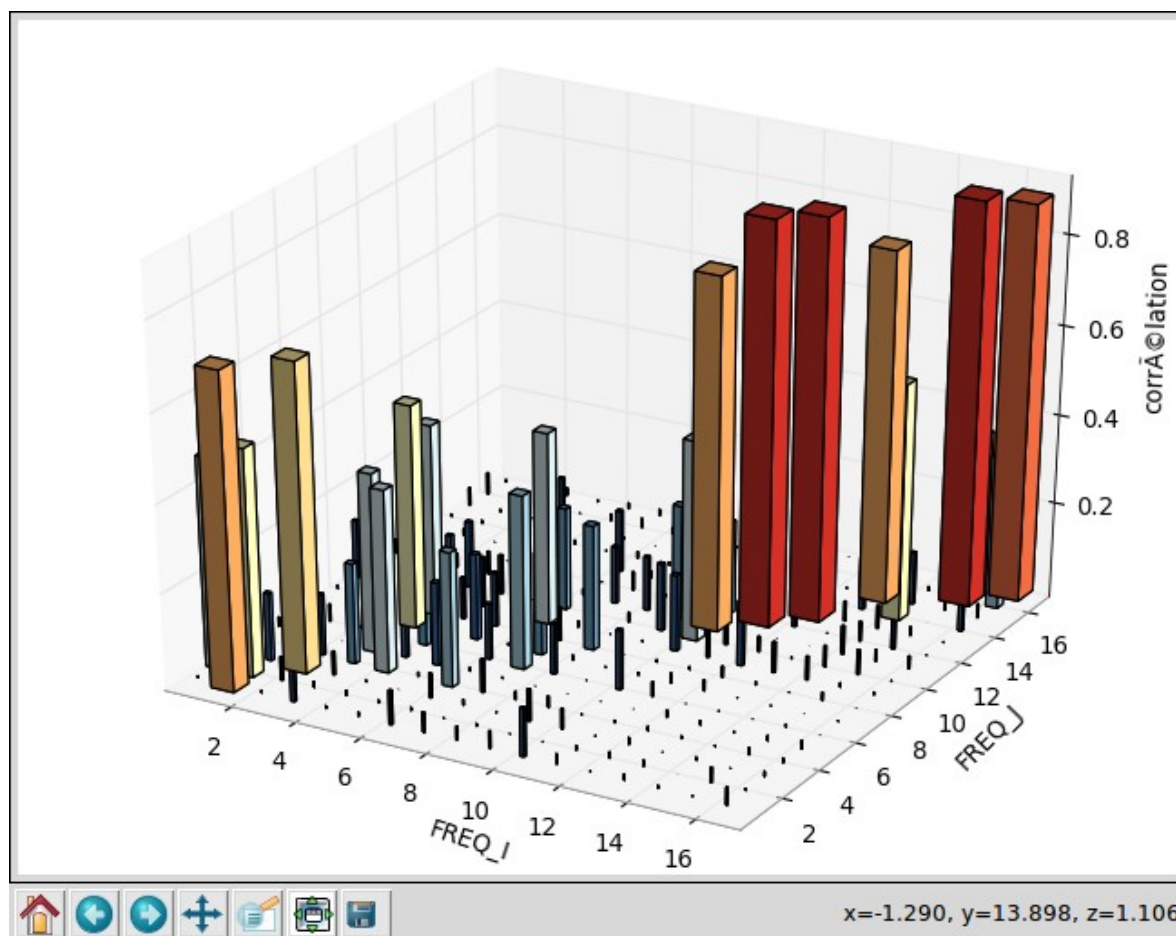


Image 5.4-1: MAC 3D.